

إيجاد النموذج العشوائي للتنبؤ بمعدل درجات الحرارة العظمى للمدينة بنغازى باستخدام أساليب التنبؤ الموسمى

د. فارس طاهر *
أ. عبد الرحمن العقيلي **

1. المقدمة

والتي تعتمد على الانحدار الذاتي والأوساط المتحركة الموسمية. ولذلك كان هدف هذا البحث هو إيضاح هذه الطرق الثلاثة للمعالجة الموسمية إيضاح هذه الطرق الثلاثة والحصول على أفضل النتائج في التنبؤات الموسمية من الطرق الثلاثة للتنبؤات بالمعدلات الشهرية لدرجات الحرارة العظمى لمدينة بنغازى وذلك لأهمية هذه الظاهرة في التأثير على الكثير من المجالات الصناعية والزراعية في الحياة البشرية .

و تعد طريقة التحليل من أقدم طرق معالجة السلسلة الزمنية ، فقد اقترحت في أوائل القرن العشرين وتألفت من

سلك الكثير من الظواهر الطبيعية سلوك الموسمية في ظهورها وذلك يأتي من طبيعة سلوك الموسام الأربعة و بذلك فإن الكثير من السلسلة الزمنية تظهر بمظاهر الموسمية وهي ظاهرة إعادة السلسلة لنفسها بعد فترة من الزمن تكون دائماً متساوية، وهناك عدة طرق لمعالجة ونمذجة مثل هذا النوع من السلسلة الزمنية منها طريقة التحليل والتي تعتمد على النموذج الضرבי أو النموذج الجمعي. أما الطريقة الثانية لمعالجة السلسلة الموسمية تسمى بطريقة ونتر الموسمية بثلاث معلم ،فيما تمثل الطريقة الثالثة لمعالجة السلسلة الموسمية في طريقة بوكس جنكز المضاعفة الموسمية

* محاضر ، قسم الإحصاء ، كلية الاقتصاد ، جامعة قاريونس ، بنغازى - ليبيا .

** محاضر ، قسم الإحصاء ، كلية الاقتصاد ، جامعة قاريونس ، بنغازى - ليبيا .

- قدم هذا البحث وقبل للنشر عام 2005 فـ

باسميهما والتي تطبق لغرض التنبؤ والسيطرة.

2. الجانب النظري :

1.2 طريقه التحليل

decomposition method

تعتمد طريقة التحليل على تجزئة السلسلة الزمنية إلى أربعة مركبات، وهي مركبة الاتجاه T_t ومركبة الدورية C_t ومركبة الخطأ E_t ومركبة الموسمية I_t وأن السلسلة الزمنية X_t يمكن أن تجزأ بطريقتين الأولى تدعى بالنموذج الجمعي بحيث يكون النموذج الصيغة الآتية:

$$X_t = I_t + T_t + C_t + E_t.$$

أما الثانية فتدعى بالنموذج الضربي Multiplicative model حيث أن النموذج يأخذ الصيغة الآتية:

$$X_t = I_t * T_t * C_t * E_t$$

والتي تدعى بطريقة النسبة للأوسمات The ratio-to-moving average method .

اتجاهين الأول في دراسة الارتباطات التتابعية بين المتغيرات والاتجاه الثاني هو دراسة الدورية وبالتالي محاولة عزل مركبة من التغيرات الموسمية والتغيرات الأخرى . وكانت أول المحاولات التي قام بها العالم Peyting عام 1884 وذلك بـ إزالة الاتجاه وبعض التأثيرات الموسمية عن طريق اخذ المعدلات ، وفي عام 1901 قام العالم Hooker باستخدام طريقة أكثر دقة في إزالة الاتجاه ، وقد تابعت المحاولات من قبل كل من Anderson عام 1904 وكذلك Spencer عام 1914 والذي عمّ Nochmels أسلوب إزالة الاتجاه ، وفي عام 1930 قدم Macaulay أسلوب التحليل المعروف اليوم وفي عام 1957 أوجد Skishkin نظام باستخدام الحاسب الآلي لإيجاد الحسابات اللازمة في طريقه التحليل .

أما طرق التمهيد فقد اشتقت عام 1956 من قبل Brown و Merey عام 1961 وكذلك Brown عام 1963 وأعمال Desopo إضافية قام بها عام 1961 وفي عام 1976 قام الباحثان Jenkins و Box بإنشقاق نماذج ARIMA والتي سميت

2.2 طريقة ونتر للتنبؤ الموسمي

Winter's method in seasonality
forecasting

تبني طريقة ونتر على ثلاثة معادلات تمديد، الأولى للإستقرارية والثانية لاتجاه والثالثة للموسمية وبذلك فإن هذه الطرق تمتلك ثلاثة معلم وهي α و β و γ وأن المعادلات الثلاثة تأخذ الشكل الآتي:

$$S_t = \alpha X_t / I_{t-1} + (1-\alpha)(S_{t-1} + b_{t-1})$$

$$I_t = \beta X_t / S_t + (1-\beta)I_{t-1}$$

$$B_t = \gamma(S_t - S_{t-1}) + (1-\gamma)b_{t-1}$$

أما معادلة التنبؤ للفترة $t+m$ فتكتب بالشكل الآتي:

$$F_{t+m} = (S_t + b_t m) I_{t-L+m}$$

حيث أن L تمثل طول الموسم و m الفترة المستقبلية بعد الفترة t لغرض التنبؤ . أما التقديرات الأولية بهذه الطريقة ف تكون كما يأتى:

$$S_{t+1} = X_{L+1}$$

وتتلخص طريقة إيجاد المركبات بان نجد أولاً الأوساط المتحركة بطول الموسم M_t والتي تحتوي على مركبتي الاتجاه T_t و C_t ، ثم نفصل هاتين المركبتين في السلسلة الأصلية فنستخرج مركبتي الموسم والخطأ العشوائي وبعد ذلك نستطيع أن نجد مركبه الموسم من إيجاد متوسطات كل موسم للبيانات المتاحة وبذلك نستطيع أن نفصل هذه المركبة لتبقى مركبة الخطأ العشوائي فقط. ثم نقوم بإيجاد مركبة الاتجاه من تطبيق طريقة المربيعات الصغرى الاعتيادية OLS وبذلك نستطيع أن نفصل مركبة الاتجاه من M_t التي أوجدناها لتبقى مركبة الدورية C_t ونقوم باستخدام أسلوب القسمة في استخراج المركبات من النموذج الضربي وأسلوب الطرح في استخراج المركبات من النموذج الجمعي ، ويعُد حساب مركبة الدورية في المستقبل من أهم الحسابات لأنها تحتاج إلى معرفة مسبقة بالمستوى الاقتصادي أو النشاط الصناعي خلال الفترة التي ينبغي إجراء تنبؤات لها .

وكذلك فإن :

$$I_2 = X_2 / X^- \quad \dots \quad I_1 = X_1 / X^-$$

$$X^- = \sum X_i / L \quad \text{حيث أن} \quad I_L = X_L / X^-$$

وكذلك فإن :

$$b_{L+1} = \frac{(X_{L+1} - X_1) + (X_{L+2} - X_2) + (X_{L+3} - X_3)}{3L}$$

3.2 طريقة بوكس جنكنز الموسمية

The Seasonality Box Jenkins Method

تُعد طريقة بوكس جنكنز من أفضل الطرق في بناء النماذج لتحليل السلاسل الزمنية ، وبينما هي ذات دراسة دقيقة وفهم دقيق لجميع مراحل الطريقة ، حيث يمكن أن نعمم مصطلحات نماذج ARIMA الاعتيادية إلى نماذج لغرض معالجة الموسمية ، وذلك بأن نقترح نماذج AR موسمية ذات الرتبة P ونماذج MA موسمية ذات الرتبة Q وكذلكأخذ الفرق الموسمي D ، إذن يكتب النموذج الموسمي كما يأتي :

$$ARIMA(p, d, q)(P, D, Q)^s$$

و s يمثل طول الموسم وإن (p, d, q) تمثل الجزء غير الموسمي وإن $(P, D, Q)^s$ تمثل جزء الموسم بطول s .

لفرض إن السلسلة Z_T تحتوي على الموسمية وقدطبقنا النموذج غير الموسمي $\Phi_p(B)(1-B)^d Z_t = \Theta_q(B)b_t$ فإن سلسلة الباقي (b_t) سوف لا تكون سلسلة عشوائية ، وإنما تحتوي على ارتباطات غير موضحة بين الفترات ، وإذا فرضنا :

$$\rho_{js} = \frac{E(b_{t-j} - \mu_b)(b_t - \mu_b)}{\sigma_b^2}$$

$$j = 1, 2, 3, \dots$$

تمثل دالة الارتباط الذاتي ρ_{ss} فإنها تمثل العلاقة غير الموضحة بين الفترات الموسمية والذي يمكن أن يمثل كذلك بنموذج ARIMA كما يأتي :

$$\Phi_p(B^s)(1-B^s)^D b_t = \Theta_Q(B^s)a_t$$

where

$$\Theta_Q(B^s) = 1 - \Theta_1 B^s - \Theta_2 B^{2s} - \dots - \Theta_Q B^{Qs}$$

$$\Phi_p(B^s) = 1 - \Phi_1 B^s - \Phi_2 B^{2s} - \dots - \Phi_p B^{Ps}$$

حيث تشير S إلى فترة الموسم مثل ذلك النموذج $ARIMA(0,1,1)_{12}(0,1,1)$ والذي يمثل بالشكل الآتي:

$$(1-B)(1-B^{12})Z_t = (1-\theta B)(1-\Theta B^2)a_t$$

ولغرض تشخيص النماذج الموسمية، يمكن أن نستخدم دالة الارتباط الذاتي ACF ودالة الارتباط الذاتي الجزئي PACF، حيث أن دالة ACF لها خاصية القطع في نماذج الأوساط المتحركة عند الفترة (q) غير الموسمية والفترة Q الموسمية وكذلك فإن دالة PACF لها خاصية القطع في نماذج الانحدار الذاتي عند الفترة p للنماذج غير الموسمية والفترة P عند النماذج الموسمية، وقد ذكر العالم Wei عام 1990 أن ACF تعتبر من أفضل الأساليب في تشخيص النماذج الموسمية.

ولغرض تقدير معالم النموذج الموسمى يمكن أن نستخدم نفس طرق التقدير للنماذج غير الموسمية و التي منها طريقة العزوم Moment Method أو

هي متعددات حدود إلى B^s بجذور تقع خارج دائرة الوحدة وأن a_t يمثل الخطأ العشوائي بمتوسط صفرى. ومن ذلك فإن النموذج الموسمى المضاعف لبوكس جنكنز يمكن أن يكتب كما يأتي:

$$\Phi_p(B^s)\phi(B)(1-B)^d(1-B)^D, = \theta_q(B)\Theta_Q(B^s)a_t$$

حيث أن

$$Z_t = \begin{cases} Z_t - \mu & \text{If } d=D=0 \\ Z_t \end{cases}$$

O/W

وأن الجزء $\Phi_p(B), \theta_q(B)$ يسمى عوامل الانحدار الذاتي والأوساط المتحركة الاعتيادية على التوالي وأن $\Phi_p(B^s), \Theta_Q(B^s)$ تسمى عوامل الانحدار الذاتي والأوساط المتحركة الموسمية على التوالي وأن النموذج يمكن أن نرمز له كما يأتي:

$$ARIMA(p,d,q)(P,D,Q)_s$$

طريقة الإمكان الأعظم التقريرية

Approximate Maximum Likelihood

أو طريقة الإمكان الأعظم
Method

غير التقريرية Exact Maximum Likelihood

والتي تعتمد على Method

تعظيم الدالة.

و ρ^i يمثل الارتباط الذاتي للأخطاء
عند الفترة المزاحمة (i) وان

$$Q \propto \chi_{k-m}^2$$

أي أن هذه الاحصاءات تتوزع مربع كاي
بدرجات حرية (k-m).

3. الجانب التطبيقي :

تم دراسة سلسلة معدلات درجات الحرارة العظمى الشهرية لمدينة بنغازي
للفترة من سنة 1991 ولغاية نهاية سنة
2000 حيث كانت السلسلة مؤلفة من 120
فرددة تمثل المعدل الشهري لدرجات
الحرارة العظمى وقد تم رسم هذه السلسلة
في الشكل رقم (1) والذي يوضح شكل
الموسمية الموجودة في هذه السلسلة.

ويمكن أن نلاحظ وجود الموسمية
من رسم سلسلة البيانات وسوف يتضمن
الجانب التطبيقي الآتي:

$$\ln \ell(\phi, \Phi, \theta, \Theta, \mu, \sigma_a^2) = \frac{n}{2} \ln(2\pi\sigma_a^2) - \frac{S_*(\phi, \Phi, \theta, \Theta, \mu)}{2\sigma_a^2}$$

حيث أن :

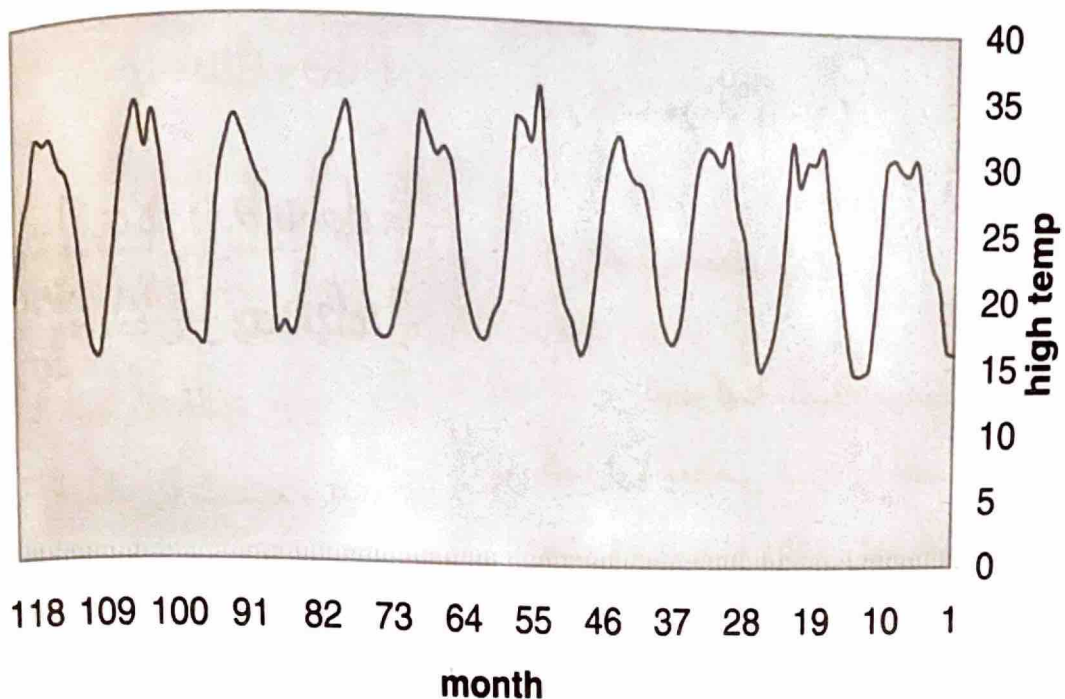
$$S_*(\phi, \Phi, \theta, \Theta, \mu) = \sum_{t=1}^n a_t^2(\phi, \Phi, \theta, \Theta, \mu / Z)$$

أما الاختبارات الخاصة بالموافقة
فتشتم برسم دالة Diagonstic Checking
وكذلك دالة ACF لالأخطاء
ونلاحظ هل يوجد نمط معين في هذه
الأخطاء وعندما نستطيع أن نحسب قبل
إحصاء الاختبار المعدلة Q المقترنة من
عام 1970 Pierce و Box حيث أن:

$$Q = n(n+2) \sum_{i=1}^k (n-k)\rho^i$$

الشكل رقم (1)
متوسطات درجة الحرارة العظمى لمدينة بنغازي

high temp.monthly mean



1.1.3 النموذج الضربى

Multiplicative Model

من تطبيق طريقة النموذج الضربى للتحليل كانت معادلة خط الاتجاه العام هي:

$$Y_t = 23.708 + 1.48E - 02 * t$$

وكان مقياس الموسمية Seasonal indices كما يأتي:

1.3 تطبيق طريقة التحليل

Decomposition Method

تم تطبيق طريقة التحليل باستخدام البرنامج الجاهز Minitab على البيانات المؤلفة من 120 مشاهدة لسلسلة متوسطات درجة الحرارة العظمى لمدينة بنغازي باستخدام النموذج الضربى والنموذج الجمعى كما يأتي:

Period	1	2	3	4	5	6
index	.653	.677	.773	.97	1.135	1.278
Period	7	8	9	10	11	12
index	1.226	1.282	1.247	1.123	.8935	.7403

مساوي إلى 1.0652 أما متوسط مربعات الانحرافات فقد كان مساوي إلى 2.008.

اما التنبؤات لمدة 24 شهراً فقد كانت كما يأتي:

وقد كانت دقة النموذج باستخدام مقاييس متوسط الأخطاء النسبية والذي يرمز له MAPE مساوياً إلى 4.5066 وكذلك متوسط الانحرافات المطلقة MAD

1	2	3	4	5	6	7	8	9	10	11	12
16.7	17.3	19.7	24.8	29	32.7	31.4	32.8	31.9	28.8	22.9	19
13	14	15	16	17	18	19	20	21	22	23	24
16.8	17.4	19.9	25	29.2	32.9	31.6	33.1	32.2	29	23.1	19.1

وقد كانت معادلة خط الاتجاه Minitab العام كما يأتي :

$$Y_t = 23.708 + 1.48E - 02 * t$$

وكان مقياس الموسمية كما يأتي :

طريقه النموذج الجمعي Additive Model

تم تطبيق طريقه النموذج الجمعي التحليل باستخدام البرنامج الجاهز

Period	1	2	3	4	5	6	7	8	9	10	11	12
indices	-8.7	-8.1	-5.5	-.7	3.3	6.9	5.5	7	6.1	-1.3	-2.5	-6.5

وكانت التنبؤات لمدة 24 شهراً فقد كانت كما يأتي:

اما مقاييس دقة النموذج فقد كانت كما يأتي:

$$MAPE=4.559$$

$$MAD=1.0738$$

$$MSD=2.002$$

1	2	3	4	5	6	7	8	9	10	11	12
16.8	17.4	20.1	24.9	29	32.5	31.1	32.6	31.7	28.7	23.2	19.2
13	14	15	16	17	18	19	20	21	22	23	24
17	17.6	20.2	25	29.1	32.6	31.2	32.8	31.9	28.9	23.3	19.4

$$MAPE=6.275$$

$$MAD=1.442$$

$$MSD=3.51$$

$$\alpha_1 = 0.1, \alpha_2 = 0.2, \alpha_3 = 0.1 \quad (2)$$

وكانت معايير الدقة المستخدمة كما يأتي:

$$MAPE=6.04$$

$$MAD=1.395$$

$$MSD=3.149$$

$$\alpha_1 = 0.2, \alpha_2 = 0.2, \alpha_3 = 0.2 \quad (3)$$

وكانت معايير الدقة المستخدمة كما يأتي :

$$MAPE=5.947$$

$$MAD=1.397$$

$$MSD=3.312$$

ويمكن أن نلاحظ أن دقة استخدام الطرقتين متقاربة من بعضها في حالة النموذج الجمعي أو النموذج الضري.

2.3 طريقة ونترفي التنبؤ الموسمي

Winter Method in Sesonality
Forcasting

تم تطبيق طريقة ونتر في التنبؤ الموسمي باستخدام البرنامج الجاهز Minitab وقد كانت النتائج حسب المعلم مطبقه كما يأتي:

$$\alpha_1 = 0.1, \alpha_2 = 0.2, \alpha_3 = 0.3 \quad (1)$$

وكانت معايير الدقة المستخدمة كما يأتي:

كانت التنبؤات والحدود العليا والدنيا لمدة 24 شهراً كما يأتي :

والتي تعتبر أفضل المعالم لذلك تم اختيارها كمعالم لنموذج ونتر الموسمي بثلاث معالم عند تطبيق التنبؤات فقد

Period	Forecast	Lower	Upper
1	16.6	13.2	20.1
2	17.3	13.8	20.8
3	20.0	16.4	23.6
4	25	21.3	28.6
5	29.5	25.7	33.2
6	32.9	29.1	36.8
7	32.7	28.7	36.6
8	33.7	29.6	37.7
9	33	29	37.3
10	29.6	25.4	33.8
11	24.4	20.1	28.8
12	19.5	15.1	24
13	17.5	13	22.1
14	18.2	13.5	22.9
15	21.1	16.3	25.9
16	26.3	21.4	31.2
17	31	26	36.1
18	34.7	29.5	39.9
19	34.4	29.1	39.7
20	35.4	30	40.9
21	34.9	29.3	40.4
22	31.1	25.4	36.8
23	25.7	19.9	31.5
24	20.5	14.6	26.5

5. وقد تم تطبيق النموذج ARIMA(3,0,2)(2,0,1) فكانت معايير الأخطاء كما يأتي:

$S.S = 303.548$, $M.S = 2.736$

6. وكذلك تم تطبيق النموذج ARIMA(2,0,3)(2,0,1) وكانت معايير الأخطاء كما يأتي:

$S.S = 261.832$, $M.S = 2.351$

7. وأخيراً تم تطبيق النموذج الموسمي ARIMA(2,0,3)(2,0,2) وكان النموذج يحمل أقل مجموع مربعات أخطاء كما في أدناه لذلك تم اختياره كنموذج ملائم للتنبؤ وقد تم تقدير المعالم الأولية والنهائية مع وجود الثابت كما يأتي:

$ARIMA (2,0,3) (2,0,2)_{12}$

3.3 طريقة بوكس جنكنز الموسمية The Seasonality Box and Jenkins Method

تم تطبيق نموذج بوكس جنكنز الموسمي ولغرض اختيار أفضل نموذج تم تطبيق النماذج الآتية :

1. تم تطبيق النموذج ARIMA (2,0,1) (2,0,1) وقد كانت مجموع مربعات الباقي $S.S$ ومتوسط مربعات الباقي $M.S$ كما يأتي:

$S.S = 304.905$, $M.S = 2.698$

2. تم تطبيق النموذج ARIMA(2,0,0)(2,0,1) والأخطاء كما يأتي:

$S.S = 309.849$, $M.S = 2.718$

3. وكذلك تم تطبيق النموذج ARIMA (2,0,2) (2,0,1) وكانت معايير الأخطاء كما يأتي:

$S.S = 269.832$, $M.S = 2.409$

4. والنموذج $ARIMA (1,0,2) (2,0,1)$

$S.S = 309.548$, $M.S = 2.739$

Iter.	S.S.T	Param.	.1	.1	.1	.1	.1	.1	.1	.1	.1	.1	15.8
0	4113		.1	.1	.1	.1	.1	.1	.1	.1	.1	.1	15.8
1	3342		.25	.21	.11	.09	.18	.24	.1	.08	.09	.09	10.7
2	2896		.4	.24	.1	-.06	.28	.31	.12	.05	-.06	.05	8.48
...
25	266.3		1.73	-1	-.95	.05	1.5	-.53	-.25	-1.4	-.54	.12	12.4

ومن ذلك فإن التقديرات النهائية

للمعامل كانت كما ياتي:

Type	Estimation	S.T.Dev
AR1	1.7328	0.0029
AR2	-1.000	0.0027
SAR 12	-0.9452	0.2609
SAR 24	0.0531	0.2612
MA1	1.4702	0.0223
MA2	-0.5247	0.0852
MA 3	-0.2512	0.0723
SMA 12	-1.4168	0.2176
SMA 24	-0.5397	0.2632
CONSTANT	12.4235	0.115
MEAN	24.5786	0.2274

اما مجموع مربعات الأخطاء

(الباقي) فقد كانت كما ياتي :

Residual S.S =253.986	M.s =2.309	DF=110
------------------------------	-------------------	---------------

وكان اختبار (liung-box) كما يلي :

Modified	Box Pierce (Ljung-Box)	Chi square	Statistic
Lag	12	24	36
Chi square	12.5(DF=3)	20.9(DF=15)	36.4(DF=27) 44.9(DF=39)

اما التنبؤات ولمدة 24 شهراً فقد

كانت كما ياتي مع حدود الثقة لكل تنبؤ

تحت مستوى معنوية %95 :

Period	Forecast	Lower	Upper
1	15.76	12.78	18.74
2	16.13	13.05	19.21
3	19.31	16.23	22.39
4	22.19	19.10	25.27
5	26.66	23.57	29.75
6	32.38	29.29	35.47
7	32.83	29.73	35.93
8	31.26	28.16	34.35

تابع الجدول السابق

Period	Forecast	Lower	Upper
9	30.50	27.40	33.60
10	26.47	23.37	29.57
11	23.50	20.39	26.60
12	19.58	16.47	22.69
13	16.51	13.09	19.97
14	16.62	13.14	20.11
15	18.47	14.98	21.96
16	23.8	20.30	27.29
17	26.85	23.35	30.36
18	28.58	25.07	32.09
19	32.27	28.76	35.79
20	32.34	28.82	35.85
21	30.57	27.05	34.09
22	26.64	23.11	30.17
23	22.45	18.91	25.98
24	18.28	14.74	21.83

2. إن طريقة التمهيد الأسي الثلاثي الموسمية المعروفة بطريقة ونتر كانت أقل دقة من طريقة التحليل ، حيث حققت متوسط مربعات أخطاء أكبر من الطريقة السابقة ولكن تعتبر طريقة أسهل في عملية التطبيق من طريقة التحليل .

3. تعتبر طريقة بوكس جنكنز الموسمية من أفضل الطرق ، حيث حققت أقل مجموع مربعات أخطاء ، إضافة إلى

4. الاستنتاجات والتوصيات:

الاستنتاجات

1. إن استخدام طريقة التحليل بالنموذج الضريبي أو بالنموذج الجمعي أعطت نتائج متقاربة من بعضها ، وقد كانت طريقة النموذج الجمعي أكثر دقة حيث كان متوسط مربعات الأخطاء أصغر في حالة النموذج الجمعي.

3 . عمل نماذج تنبؤ بمتوسطات درجات الحرارة العظمى الشهرية بمختلف أمانات الجماهيرية.

4 . عمل نماذج تنبؤ بالظواهر المناخية الأخرى باستخدام نماذج بوكس جنكنز الموسمية .

قيامها بتحليل الأخطاء بشكل دقيق مما يوفر إمكانية دراسة خصائص الأخطاء الناتجة.

4. من استخدام طريقة ونتر الموسمية كانت المعالم التي تحقق أقل مجموع مربعات أخطاء هي :

$$\alpha_1 = 0.2, \alpha_2 = 0.2, \alpha_3 = 0.2$$

5. من استخدام طريقة بوكس جنكنز الموسمية كان النموذج المطابق

$$ARIMA(2,0,3)(2,0,2)$$

$$(1 - 1.733B + B^2)(1 + 0.945B^{12} - 0.053B^{24})x_t = \\ 37 + (1 - 1.47B + 0.525B^2 + 0.25B^3)(1 + 1.417B^{12} + 0.54B^{24})a_t$$

المصادر:

2.4 التوصيات :

1.Abraham,B.and Ledolter,J(1983), Statistical Method for forecasting ,Jone Wiley New York.

2.Abraham and Ledolter,J(1984),A note on inverse autocorrelations .Biometrika 71. 609-614.

3.Anderson,T.W(1971)The Statistical Analysis of Time Series, John Wiley, New York .

4.Box,G.E.P and Pierce,D.A(1970), Distribution of Residual Autocorrelations in Autoregressive-Integrated Moving Average Time Series Models.JASA,65,1509-1525.

5.Box,G.E.P and Jenkins , G.M(1976),Time Series Analysis: Forcasting and control, 2nd,Holden -Day,Sanfrancisco.

1. استخدام طريقة بوكس جنكنز الموسمية لغرض التنبؤ الموسمي والتي تعتبر من الطرق وأكثرها تقدماً.

2. استخدام التنبؤات والنموذج المقترن في التنبؤ لدرجات الحرارة العظمى الشهرية لمدينة بنغازي في الدراسات المناخية .

- 6.Cupingood,L.A and Wei,W.W.S(1986),
Seasonal Adjustment of Time Series Using
One Sided Filters.Journal of Business and
Economic Statistics.4,473-484.
- 7.Fuller,W.A(1969) Introductions to Statis-
tical Time Series, John Wiley, New York.
8. Hillmer,S.C An Approach to Seasonal
AdjustmentJASA.77,63-70.
9. Pierce, D.A(1980) Asurvey of recent
developments in Seasonal adjustment, The
American Statistician,34,125-134.

الملحق

Year	JAN.	FEB.	MAR.	APR.	MAY	JUN.
1991	16.1	16.4	21.2	22.8	26.2	30.5
1992	14.5	14.7	18.2	23.0	26.0	31.3
1993	15.7	14.9	18.9	24.3	26.7	31.6
1994	16.7	17.3	19.9	25.2	28.1	28.5
1995	15.7	18.1	19.5	22.5	26.7	35.2
1996	16.7	17.0	18.9	22.3	29.0	30.5
1997	16.8	16.5	17.3	20.3	28.1	33.4
1998	16.6	17.5	16.8	26.6	27.8	29.5
1999	16.4	17.0	20.9	23.9	29.4	33.1
2000	15.1	15.8	20.0	25.1	28.4	29.2
Year	JUL.	AUG.	SEP.	OCT.	NOV.	DEC.
1991	29.5	29.8	30.6	30	21.1	15
1992	30.2	30.2	28.5	31.6	23.1	17.8
1993	29.9	30.8	31.1	29.5	24.3	18.7
1994	29.6	31.8	30.5	27.1	21.3	17.0
1995	31.3	32.6	32.9	25.5	19.8	18.4
1996	30.0	31.6	32.9	25.4	21.7	18.9
1997	32.2	30.0	29.0	25.9	22.4	18.6
1998	31.4	32.6	30.8	27.9	21.6	15.9
1999	30.4	33.7	31.8	28.9	23.6	18.9
2000	31.2	30.9	31.3	27.3	24.8	19.4